

一次元アーキテクチャへの搭載に向けた 量子回路設計支援アプリケーション

東京大学大学院 情報理工学系研究科 電子情報学専攻

長谷川研究室 修士1年 内藤壮俊

自己紹介

- ▶ プログラミング経験
 - ▶ 競技プログラミング (C++)
 - ▶ ゲーム開発 (Unity C#)
 - ▶ 研究, ウェブ開発 (Python, JavaScript)
- ▶ 量子コンピューティングの経験
 - ▶ 量子ゲート型 : IBM Quantum Challenge 2020 に参加した程度
 - ▶ 量子アニーリング型 : 今回が初めて

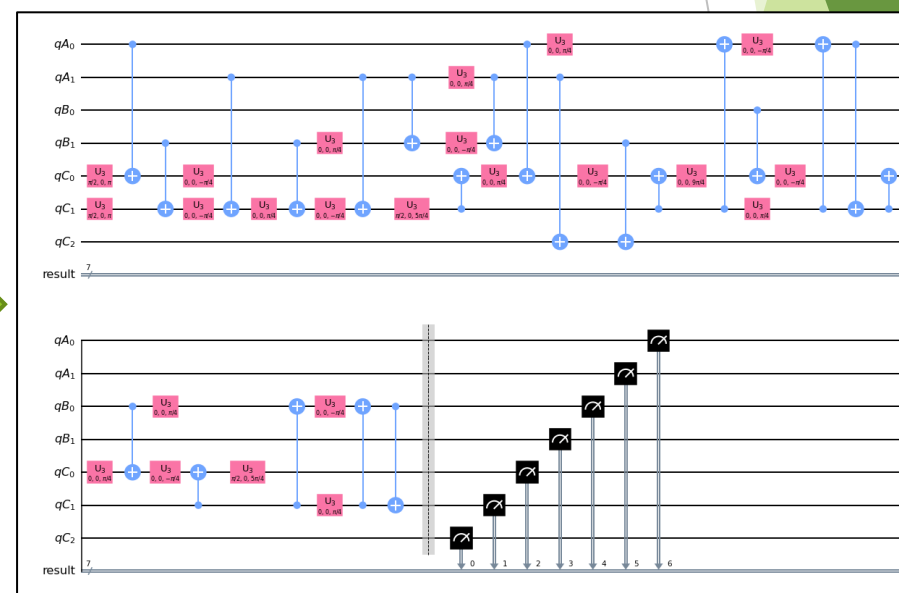
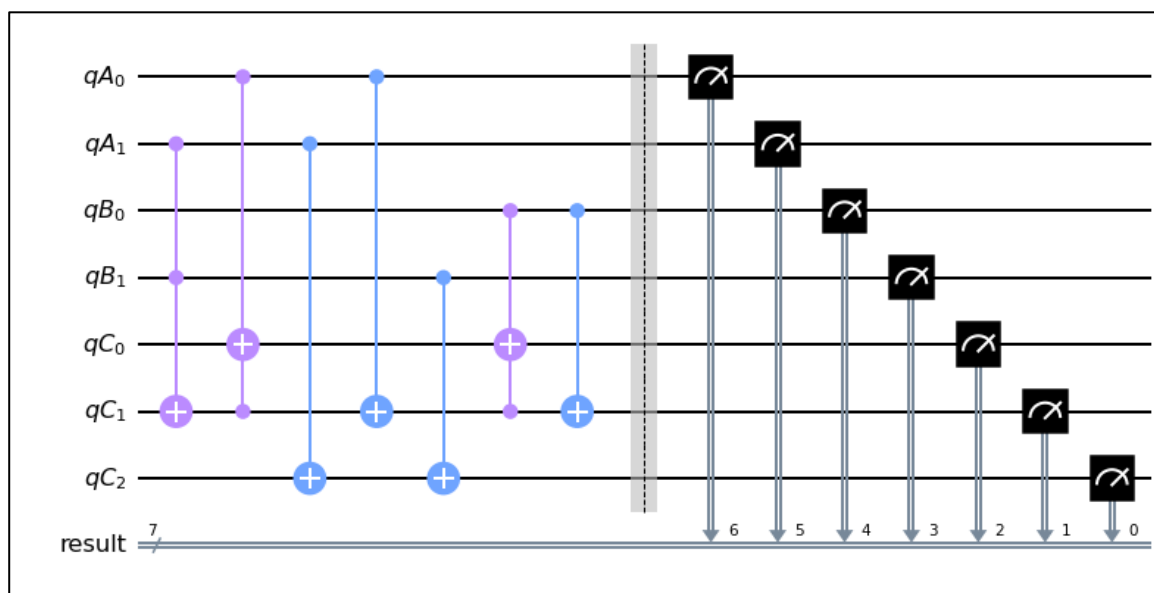
参加したきっかけ

- ▶ 量子アニーリングを使って、量子ゲートの回路設計を支援できないか？
 - ▶ コラボって感じがしてカッコいい
- ▶ 現存するゲート型量子コンピュータは数十ビット程度の規模なので、扱う問題の大きさとしてちょうど良い...？
 - ▶ アニーリングが先行している分だけ、アドバンテージが活かせそう

背景説明

量子ゲート型計算機

- ▶ ゲート通過による状態の変化を利用
- ▶ 任意の量子回路はU3ゲート(1入力, 赤色)とCXゲート(2入力, 青色)に展開可能



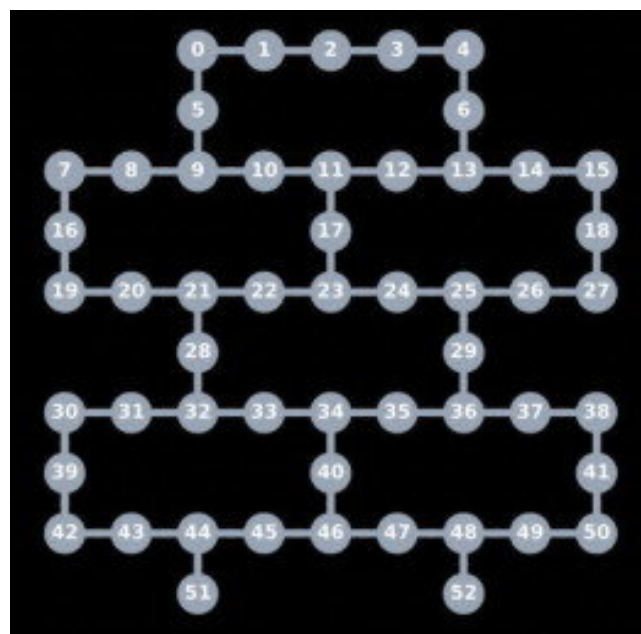
図：IBM Qにて作成した量子回路の例。
(左：回路設計段階における見た目。 右：U3ゲートとCXゲートに展開した結果。)

量子回路の実機搭載

- ▶ 「設計図上のビット」と「デバイス上のビット」の対応を考える必要がある
- ▶ CXゲートは物理的に隣り合う2ビットにしか作用できない
 - ▶ 離れている場合は？ → SWAPゲートを使って入れ替える必要がある

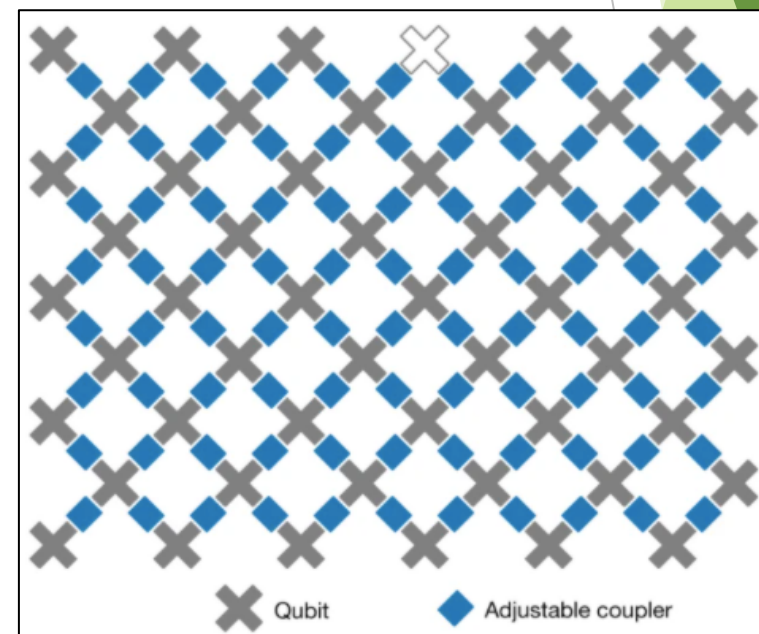
左図：

IBM「Rochester」における
量子ビットの配置。



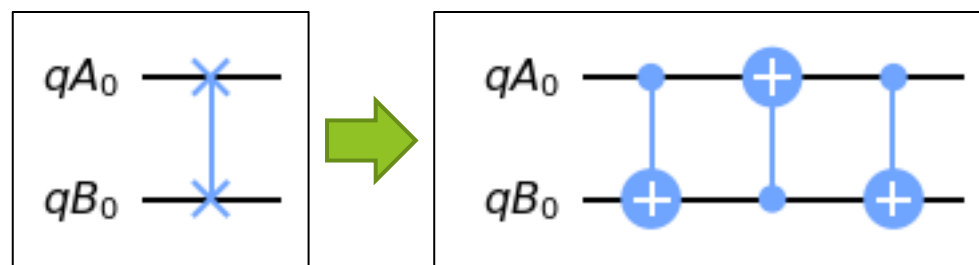
右図：

Google「Sycamore」における
量子ビットの配置。



量子回路のコスト

- ▶ 今回は、エラー率によってコストを見積もることとする
 - ▶ CXゲートのエラー率はU3ゲートの10倍程度
 - ▶ SWAPゲートはCXゲート3つから構成される



図：SWAPゲートの構成.

- ▶ CXゲートやSWAPゲートの個数が支配的
 - ▶ エラー率の比は U3ゲート : CXゲート : SWAPゲート = 1 : 10 : 30
 - ▶ SWAPゲートの個数をできるだけ減らしたい

扱う問題

- ▶ 量子ビットが一直線上に配置されたアーキテクチャにおいて, CXゲートを含むレイヤーのそれぞれに対し, 量子ビットの配置を決定する
 - ▶ 制約: CXゲートは物理的に隣り合う2ビットにしか作用できない
 - ▶ コスト: レイヤー間に挿入するSWAPゲートの個数

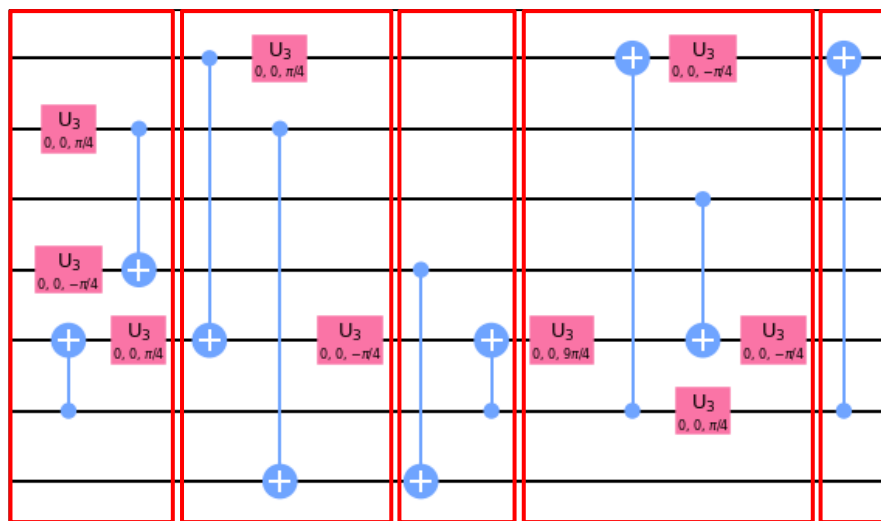


図: レイヤーの構成.

古典的なアプローチ (動的計画法による高速化)

- ▶ 量子ビットの個数 N に対し, 各レイヤーにおける配置は $N!$ 通り
- ▶ レイヤーの枚数 M に対して, 全体の取りうる状態数は $(N!)^M$ 通り
- ▶ 配置に対する暫定的なコストを持っておくことで,
空間計算量 $O(M \cdot N!)$, 時間計算量 $O(M \cdot (N!)^2)$ で解くことができる
- ▶ $N = 10$ で $(N!)^2 \approx 1.3 \times 10^{13}$ なので, 小規模の回路にしか適用できない.

背景説明 まとめ

- ▶ 実機搭載において、CXゲートは物理的に隣り合うビットにしか作用できない
- ▶ ビットが離れている場合、SWAPゲートでビットを入れ替える必要がある
- ▶ SWAPゲートのエラー率は非常に高いため、使う個数をできるだけ減らしたい
- ▶ 古典的解法は計算量が非常に大きく、小規模な回路にしか使えない

提案手法

バイナリ変数を用いた定式化

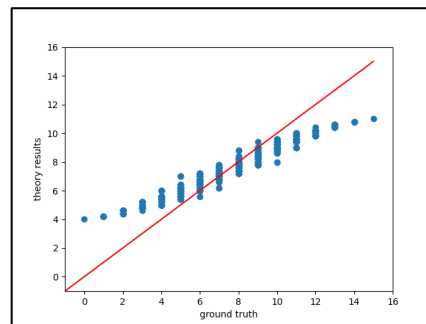
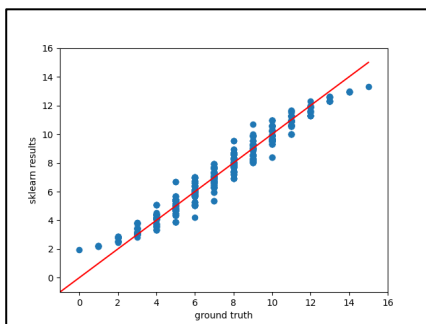
- ▶ 各レイヤーにおける量子ビットは $[0, 1, \dots, N - 1]$ の並び替えとなる
- ▶ Q_{mnv} : 「レイヤー m における n 番目は, 設計図における v 番目に対応する」
 - ▶ MN^2 個の量子ビットが必要
- ▶ one-hot 制約
 - ▶ 「設計図におけるビットは1つのビットに対応する」 : $\sum_{n=0}^{N-1} Q_{mnv} = 1$
 - ▶ 「レイヤーにおけるビットは1つのビットに対応する」 : $\sum_{v=0}^{N-1} Q_{mnv} = 1$
- ▶ CXゲートによる制約
 - ▶ 作用させる2ビットは物理的に隣り合っていないといけない
 - ▶ ペナルティ関数 : $\sum_{(a,b) \in [CX-gates]} \sum_{(i,j), |i-j| \geq 2} Q_{mia} Q_{mjb}$

コスト関数の定式化 (初期案)

- ▶ $C_{ij} = 1 \Leftrightarrow C[i] = j \Leftrightarrow A[i] = B[j]$ を用意
 - ▶ 隣り合うレイヤー A, B 間において, シンボルが一致しているかどうか
 - ▶ $C_{ij} = \sum_{v=0}^{N-1} A_{iv} B_{jv}$
- ▶ 転倒数 (= シンボルどうしが入れ替わった回数) を以下のように定式化
 - ▶ $cost = \sum_{0 \leq i_1 < i_2 < N} \sum_{0 \leq j_2 < j_1 < N} C_{i_1 j_1} \cdot C_{i_2 j_2}$
- ▶ しかし, うまくいかず...
 - ▶ 制約条件 $C_{ij} = \sum_{v=0}^{N-1} A_{iv} B_{jv}$ は, 2次多項式の形をしている
 - ▶ ペナルティの関数は $\frac{(C_{ij} - \sum_{v=0}^{N-1} A_{iv} B_{jv})^2}{2 \text{次式の2乗} = 4 \text{次式}} = 0$ となり, 2次以下の多項式で表せない

転倒数の近似によるアプローチ

- ▶ 重回帰分析を試した結果
 - ▶ 10^{14} オーダーの係数が出てきてしまったが、まあまあ綺麗にフィットしていた
- ▶ 期待値による推定を行った結果
 - ▶ 係数は計算できるが、のっぺりした分布に...



図：重回帰分析，期待値による転倒数の推定結果.
横軸が正しい値，縦軸が推定値である。

- ▶ 驚くべきことに，両者は互いに一次関数の関係にあった
 - ▶ そのため，重回帰分析のフィッティング結果を生成できるように

転倒数の推定モデルの実装

- ▶ 期待値による推定：転倒数 $\approx \left\{ \sum_{0 \leq i, j < N} \left(\frac{i+j}{2} - \frac{ij}{N-1} \right) \cdot C_{ij} \right\}$
- ▶ 重回帰分析の結果へ変換： $y = \frac{2N-2}{N} x - \frac{(N-1)(N-2)}{4}$
- ▶ \rightarrow 転倒数 $\approx \frac{2N-2}{N} \left\{ \sum_{0 \leq i, j < N} \left(\frac{i+j}{2} - \frac{ij}{N-1} \right) \left(\sum_{v=0}^{N-1} A_{iv} B_{jv} \right) \right\} - \frac{(N-1)(N-2)}{4}$ と書ける
 - ▶ レイヤー $m, m+1$ 間においては, $A_{iv} = Q_{miv}, B_{jv} = Q_{(m+1)jv}$
- ▶ 代入すると, 以下のように整理できる
 - ▶ $\sum_{m=0}^{M-2} \left\{ \sum_{0 \leq i, j < N} \frac{(N-1)(i+j)-2ij}{N} \left(\sum_{v=0}^{N-1} Q_{miv} Q_{(m+1)jv} \right) \right\} - (M-1) \frac{(N-1)(N-2)}{4}$

この部分を最小化したい.

定数項.
最小化においては無視される.

QUBO形式への変換

- $$cost = \sum_{m=0}^{M-2} \left\{ \sum_{0 \leq i, j < N} \frac{(N-1)(i+j)-2ij}{N} \left(\sum_{v=0}^{N-1} Q_{miv} Q_{(m+1)jv} \right) \right\}$$
- $$constraint = \underbrace{\sum_{m=0}^{M-1} \left\{ \sum_{v=0}^{N-1} (1 - \sum_{n=0}^{N-1} Q_{mnv})^2 + \sum_{n=0}^{N-1} (1 - \sum_{v=0}^{N-1} Q_{mnv})^2 \right\}}_{\text{one-hot 制約}} + \underbrace{\sum_{(a,b) \in [CX-gates]} \sum_{(i,j), |i-j| \geq 2} Q_{mia} Q_{mjb}}_{\text{CXゲートによる制約}}$$
- $model = constraint \times \lambda + cost$ として構成した
 - $model$ の項数(= モデルの規模)は $O(MN^3)$ 個
 - 制約 \gg コストとするために, とりあえず $\lambda = 100$ と設定

提案手法 まとめ

- ▶ SWAPゲートの個数 = 転倒数 は4次式で表されるため, 2次以下で近似を試みた
- ▶ 重回帰分析の結果 (= 最適解?) では係数が発散してしまったが, 期待値による推定結果から変換可能だった
- ▶ $model = constraint \times \lambda + cost$ として, $O(MN^3)$ サイズのモデルを構築

パフォーマンスの評価

評価：コスト最小化の性能比較

- ▶ ランダムに生成したデータ10個に対してコストを計算した
 - ▶ 古典的解法は最適解を出力するので、必ず 古典的解法 \leq Amplify解法 となる
 - ▶ Amplify解法においては、 $\lambda = 100$, *timeout* = 1秒 として実行
- ▶ N , M の大きいケースで誤差が大きくなった
 - ▶ 制約の重み λ を小さくする + *timeout* を伸ばすことでコスト抑制が可能

N	3	4	5	6
古典的解法 ($M = 5$)	0.6	1.4	2.1	4.1
Amplify解法 ($M = 5$)	0.6	1.4	2.1	4.5
古典的解法 ($M = 20$)	3.8	13.0	15.0	24.9
Amplify解法 ($M = 20$)	3.8	13.1	18.9	34.0

表：それぞれの解法における
コストの平均値.

評価：実行時間の比較

- ▶ $M = 5$ にて, N を動かした時の実行時間(秒)を比較した

N	3	4	5	6	7	8	9	10	15	20
古典的解法	0.0007	0.0084	0.4551	8.9532	566.95	—	—	—	—	—
Amplify解法	1.8336	1.8184	1.4685	1.1751	1.2766	1.3620	1.3654	1.6483	6.1014	20.047

表： N を動かした時の実行時間の比較.
 $6 \leq N$ においてAmplify解法の方が高速となっている.

- ▶ N が大きくなると, Amplify解法でも時間がかかる傾向に
 - ▶ $O(MN^3)$ サイズのモデル構築に時間がかかっていた
- ▶ といっても, 古典的解法は $O(M \cdot (N!)^2)$ なので飛躍的向上と言える
 - ▶ $N = 10$ のとき, $(10!)^2 \div 10^3 \approx 132$ 億倍の高速化に成功

パフォーマンスの評価 まとめ

古典的解法

- ▶ 厳密解を計算する
- ▶ $O(M \cdot (N!)^2)$ の時間がかかる
- ▶ 小規模 ($N \leq 6$) の回路に強い

Amplify解法

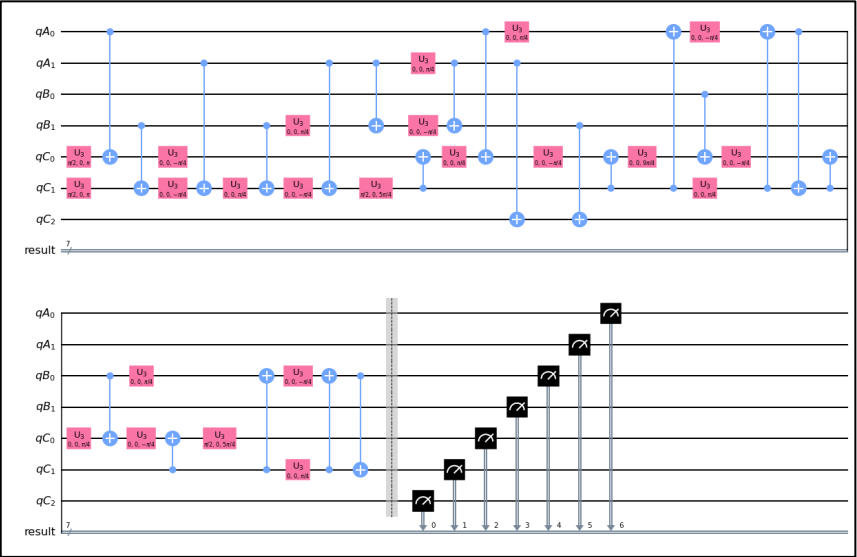
- ▶ 近似解を計算する (λ で調整可)
- ▶ $O(MN^3) + \text{timeout}$ の時間がかかる
- ▶ 中規模 ($7 \leq N \leq 50$) の回路に強い

➡ Amplify解法は古典的解法より実用的と言える

アプリケーションの作成

OpenQASMとの連携

- ▶ 「OpenQASM」という言語で書かれた回路を入力できるようにしたい
- ▶ U3ゲートとCXゲートに分解済みの回路を入力に用いる



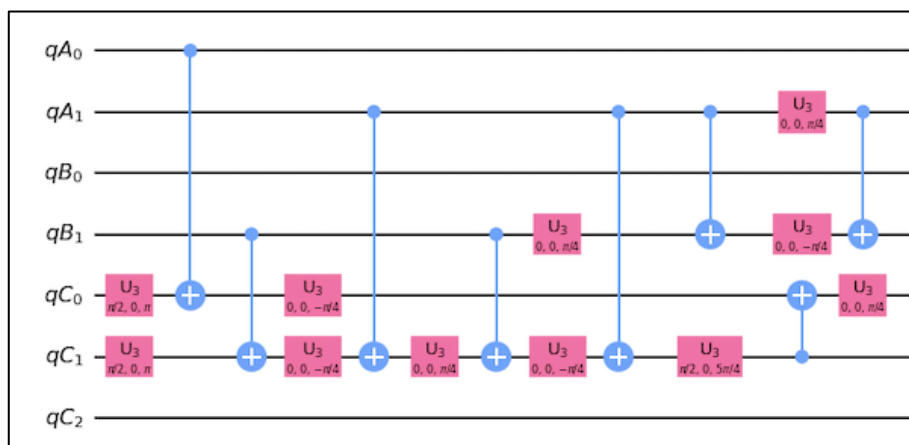
図：展開した後の回路.

. . . u3(pi/2,0,pi) qC[0]; cx qA[0],qC[0]; u3(0,0,-pi/4) qC[0]; u3(pi/2,0,pi) qC[1]; cx qB[1],qC[1]; u3(0,0,-pi/4) qC[1]; cx qA[1],qC[1]; u3(0,0,pi/4) qC[1]; cx qB[1],qC[1]; u3(0,0,pi/4) qB[1]; u3(0,0,-pi/4) qC[1]; cx qA[1],qC[1]; cx qA[1],qB[1]; u3(0,0,pi/4) qA[1]; u3(0,0,-pi/4) qB[1];	cx qA[1],qB[1]; u3(pi/2,0,5*pi/4) qC[1]; cx qC[1],qC[0]; u3(0,0,pi/4) qC[0]; cx qA[0],qC[0]; u3(0,0,pi/4) qA[0]; u3(0,0,-pi/4) qC[0]; cx qC[1],qC[0]; u3(0,0,9*pi/4) qC[0]; cx qB[0],qC[0]; u3(0,0,-pi/4) qC[0]; cx qC[1],qA[0]; u3(0,0,-pi/4) qA[0]; u3(0,0,pi/4) qC[1]; cx qC[1],qA[0]; cx qA[0],qC[1];	cx qC[1],qC[0]; u3(0,0,pi/4) qC[0]; cx qB[0],qC[0]; u3(0,0,pi/4) qB[0]; u3(0,0,-pi/4) qC[0]; cx qC[1],qC[0]; u3(pi/2,0,5*pi/4) qC[0]; cx qC[1],qB[0]; u3(0,0,-pi/4) qB[0]; u3(0,0,pi/4) qC[1]; cx qC[1],qB[0]; cx qB[0],qC[1]; cx qA[1],qC[2]; cx qB[1],qC[2]; . . .
--	--	--

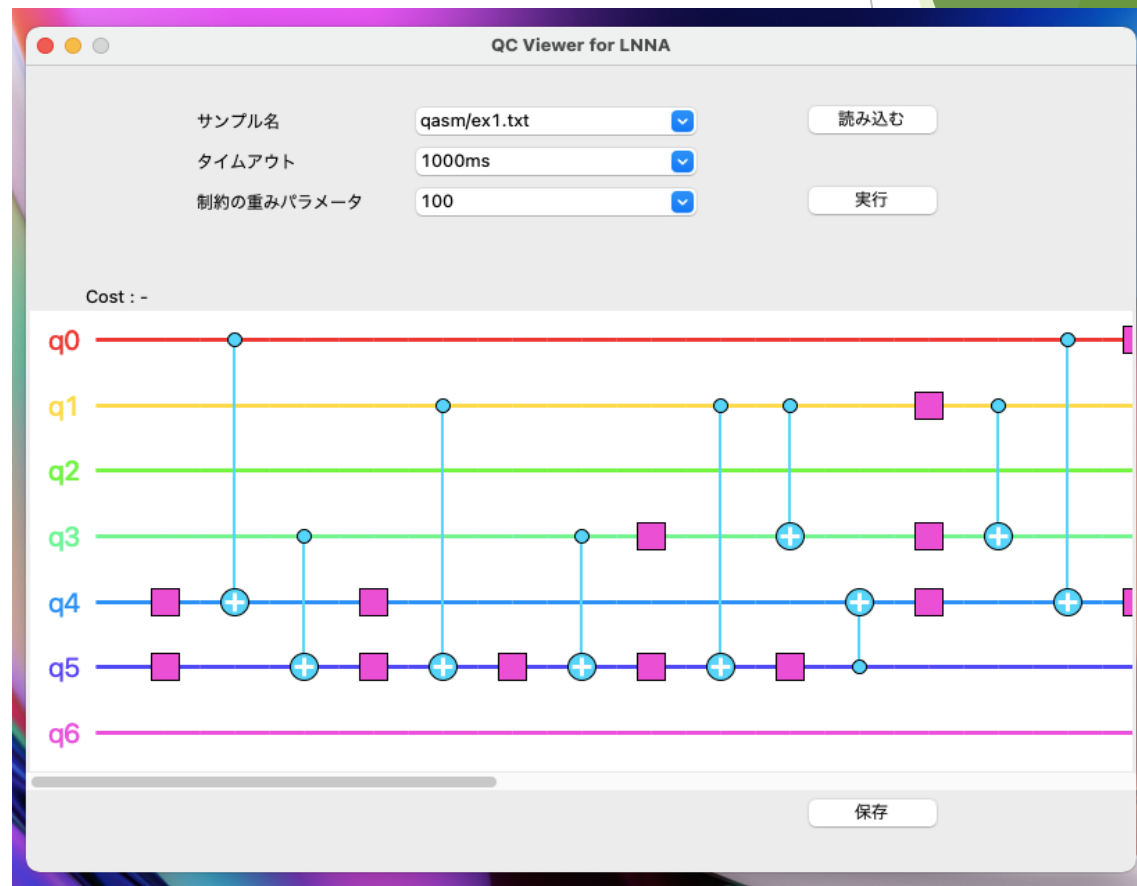
図：出力されるOpenQASMプログラム.

アプリ機能紹介：量子回路の描画

- ▶ tkinterというライブラリで実装
- ▶ 設計図段階の回路と、Amplify解法の実行結果を描画する



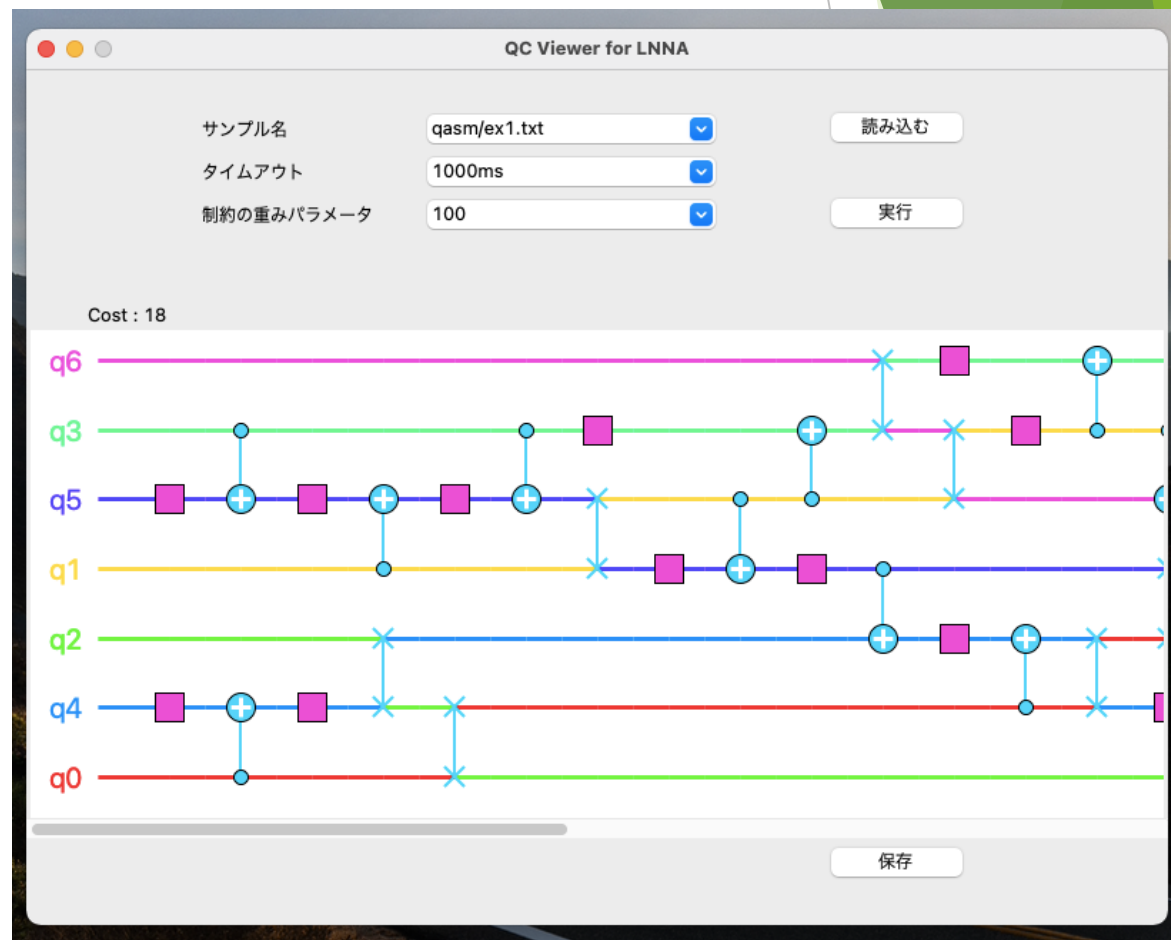
図：読み込んだ回路設計図の一部。
(IBM Q上で描画。)



図：ビジュアライザ上での描画結果。

アプリ機能紹介：Amplifyの呼び出し

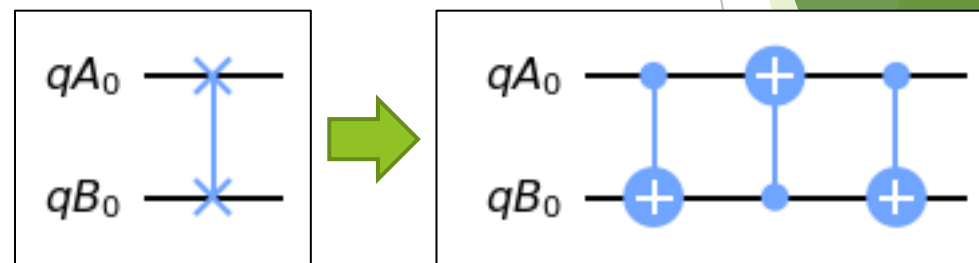
- ▶ Amplify解法を実行
 - ▶ タイムアウト (*timeout*) の調整可
 - ▶ 制約重みパラメータ (λ) の調整可
- ▶ 実行結果の描画
 - ▶ SWAPゲートは「X-X」で描画されている
- ▶ 良い解が見つかるまで調整・再試行が可能
 - ▶ 回路設計の効率化につながる



図：Amplify解法の実行結果。

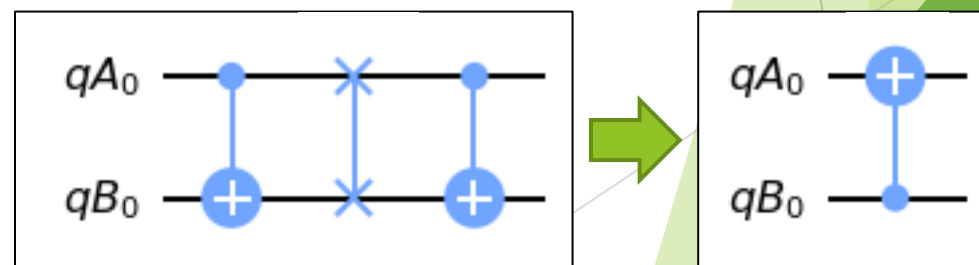
アプリ機能紹介：OpenQASM形式で出力

- ▶ SWAPゲートを3つのCXゲートに置き換えることでOpenQASM形式に書き換えることが可能
 - ▶ 設計図段階の回路を入力して、アプリで実機搭載可能な回路に変換して、その結果を出力する



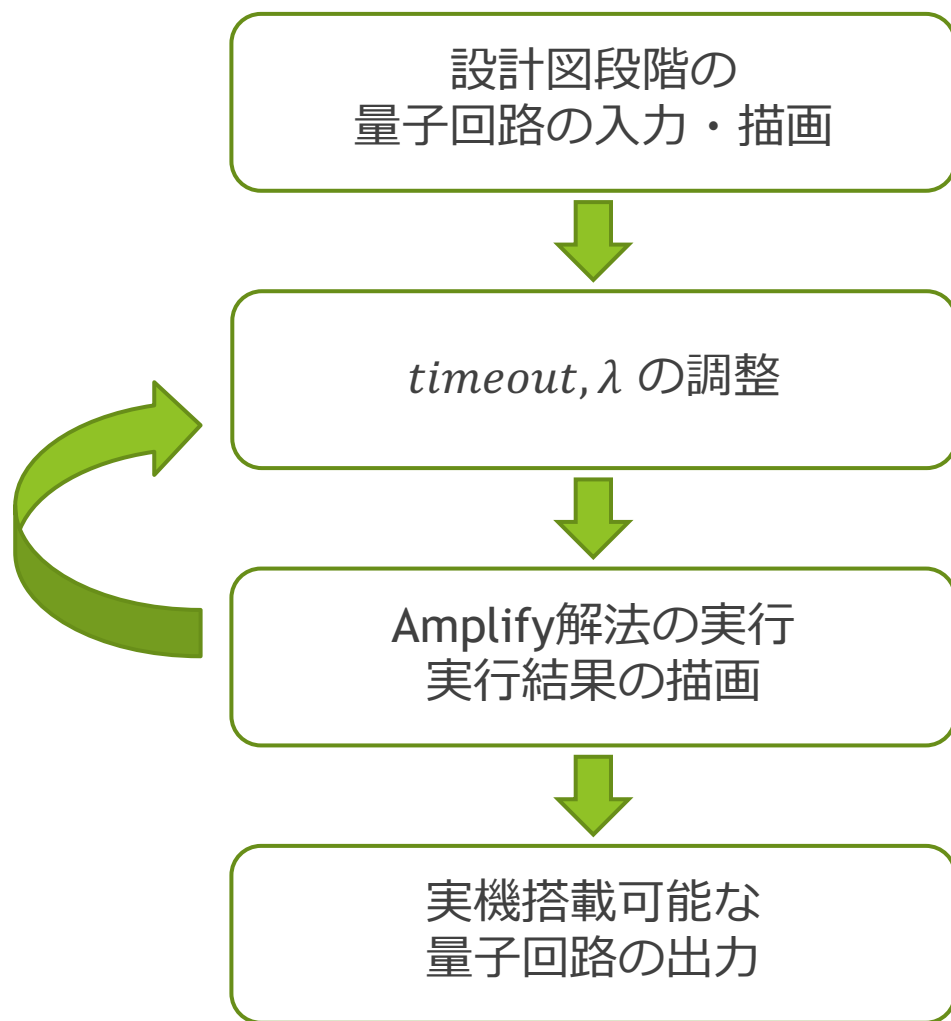
図：SWAPゲートの展開.

- ▶ CXゲートの個数が最も少なくなるように置き換えを実行
 - ▶ 上下反転を考えると、置き換えは2通りある
 - ▶ CXゲートが相殺する場合がある



図：CXゲートの個数が減るケース.

アプリケーションの作成 まとめ



- ▶ 一連の作業がアプリ内で完結
- ▶ フィードバックが高速
- ▶ 他アプリとの互換性

発表は以上になります。
ありがとうございました。